

ISSN 1859-1531



BỘ GIÁO DỤC VÀ ĐÀO TẠO
ĐẠI HỌC ĐÀ NẴNG

Tạp chí
Khoa học & Công nghệ

THE UNIVERSITY OF DANANG

**JOURNAL OF SCIENCE
AND TECHNOLOGY**

**11(84)
2014**

QUYEN 1

MỤC LỤC

ISSN 1859-1531 - Tạp chí KHCN ĐHĐN, Số 11(84).2014, Quyển 1

KHOA HỌC KỸ THUẬT

Nghiên cứu thực nghiệm tính năng động cơ dual fuel biogas-diesel

Experimental study of performance of biogas - diesel dual fuel engine

Bùi Văn Ga, Dương Việt Dũng, Nguyễn Việt Hải, Nguyễn Văn Anh, Võ Anh Vũ

1

Ảnh hưởng của hiện tượng trượt giữa nền móng đến phản ứng của công trình chịu tải trọng động đất

The effect of sliding base on earthquake response of buildings

Bùi Quang Hiếu

7

Phân tích nội lực cầu vòm ông thép nhồi bê tông chịu tác động của động đất

Internal force analysis for concrete steel tubular arch bridge under earthquake impact

Hoàng Phương Hoa, Trần Đình Hoàng

10

Điều khiển phân nhánh và hỗn độn trong mô hình động cơ động bộ nam châm vĩnh cửu

Control of bifurcation and chaos in the model of the permanent-magnet synchronous motor

Nguyễn Lê Hòa, Lê Tiến Dũng, Nguyễn Hoàng Mai, Đoàn Quang Vinh

15

Phân tích dao động của trụ cầu sông Hàn chịu va đập của tàu thủy

Analysis of Han-river pier vibration under impact of ship collision

Nguyễn Đức Hoàng, Nguyễn Xuân Toàn

21

So sánh một số đặc trưng của composite đơn hướng (sợi thủy tinh/epoxy) với nhựa epoxy-amin khi sản xuất trong khuôn hở

Comparison of some characteristics of unidirectional composites (glass fiber/epoxy) and epoxy-amine resin produced in the open-mold

Nguyễn Thành Hồi, Nguyễn Đình Lâm

26

Đề xuất tổ chức kiến trúc cảnh quan theo hướng sinh thái góp phần phát triển bền vững đô thị Đà Nẵng

Proposal to organize landscape architecture by ecological approach for sustainable development of Danang

Tô Văn Hùng

30

Tổng hợp epoxy bằng phương pháp epoxy hóa dầu đậu nành và ứng dụng cải thiện tính giòn của composite nhựa epoxy thương phẩm

Synthesis of epoxy by epoxidizing soybean oil and its use for improving brittle behavior of the commercial epoxy resin composite

Đoàn Thị Thu Loan, Nguyễn Đình Long

35

Nghiên cứu, lắp đặt mô hình điện năng lượng mặt trời có nối lưới điện tiêu thụ

Research and installation of a model of solar energy with consumption electricity grid

Lê Quang Nam, Trần Thanh Sơn

39

Hiện trạng và giải pháp trong quản lý chất thải rắn nông nghiệp tại huyện Lệ Thủy, tỉnh Quảng Bình

Current status and solutions for agricultural solid waste management in Lethuy district, Quangbinh province

Võ Thị Nho, Lê Phước Cường

43

Nghiên cứu các giải pháp thiết kế kiến trúc tiết kiệm năng lượng cho nhà ống tại thành phố Đà Nẵng

Study on energy efficiency solutions for tube houses in Danang city

Hồ Hồng Quyên

48

Chiết tách chất màu anthocyanins từ khoai lang tím

Extraction of anthocyanins pigment from purple sweet potatoes

Tạ Thị Tổ Quyên, Huỳnh Thị Kim Cúc, Cù Thị Ngọc Thúy, Đào Hùng Cường

55

Đánh giá khả năng chịu tải công trình cầu theo quan điểm tích hợp của AASHTO - USA

Evaluating the load capacity of bridges based on the intergrated approach of AASHTO - USA

Nguyễn Duy Thảo

60

Đánh giá hoạt động của hệ thống McABR tiên tiến trong xử lý nước thải chế biến thủy sản

Performance assessment of advanced McABR system

Trần Minh Thảo, Phùng Minh Tùng, Đoàn Thanh Phương

65

Ảnh hưởng của quá trình gia nhiệt đến trị số độ kéo dài của nhựa đường đặc

Effects of heating process on value of ductility of bitumen

Trần Thị Thu Thảo

70

Mô hình phần tử hữu hạn và kết quả phân tích số cầu Nhật Lệ 2 tỉnh Quảng Bình dưới tác dụng của tải trọng di động
Finite element model and numerical analysis of Nhatle bridge no2 under moving load

Nguyễn Xuân Toản, Nguyễn Hữu Tuân

74

Xây dựng chương trình tính toán hệ số truyền nhiệt
Program for calculating the heat transfer coefficient
Phan Quí Trà

79

Nghiên cứu quá điện áp trong lưới điện phân phối
An investigation into overvoltage in power distribution networks
Đinh Thành Việt, Trần Viết Thành

82

KHOA HỌC TỰ NHIÊN

Thuật toán đẩy luồng trước tìm luồng cực đại trên mạng hỗn hợp mở rộng
Push-preflow maxflow algorithm on extended mixed networks
Trần Quốc Chiến, Trần Ngọc Việt, Nguyễn Đình Lầu

87

Các dạng hóa học và đánh giá rủi ro kim loại chì trong trầm tích mặt tại hồ Bàu Tràm, thành phố Đà Nẵng

Chemical forms and assessment of the risks caused by lead in the surface sediments of Bautram lake, Danang city
Đoàn Chí Cường, Võ Văn Minh, Lê Thị Mai Hạnh

92

Tính các tham số nhiệt động và các cumulant của các tinh thể lập phương tâm điện (FCC) pha tạp theo lý thuyết phẳng cấu trúc tinh tế của tia X (XAFS)
Calculating thermodynamic parameters and cumulants of dopant face cubic center (FCC) crystals in light of x-ray absorption fine structure (XAFS) theory
Nguyễn Bá Đức

97

Các tính chất quang học của ion europium trong thủy tinh $XB_2O_3.(80-X) TeO_2.10ZnO. 10Na_2O$
Optical properties of ion europium in the $XB_2O_3.(80-X) TeO_2.10ZnO. 10Na_2O$ glasses
Trần Thị Hồng

101

Sử dụng chỉ số tổ hợp sinh học IBI đánh giá chất lượng nước khu vực hạ lưu sông Thu Bồn, tỉnh Quảng Nam

Using the index of biological integrity IBI for assessing the water quality of the Thubon lower river in Quangnam province
Nguyễn Văn Khánh, Đàm Minh Anh, Trần Thị Hằng, Trương Phương Thanh

104

Xác định chủng vi khuẩn *Bacillus Sp.* phân giải protein và thử nghiệm xử lý nước thải thủy sản
*To determine the protein-decomposing bacteria *Bacillus Sp.* and apply primarily in aquatic products processing wastewater treatment*

Nguyễn Thị Lan Phương, Đỗ Thu Hà

108

Dẫn liệu mới về loài rùa cổ sọc *Mauremys sinensis* (Gray, 1834) ở Quảng Ngãi
*New record of *Mauremys sinensis* (Gray, 1834) in Quangngai region*
Lê Thị Thanh, Đinh Thị Phương Anh

113

Nghiên cứu mẫu ngẫu nhiên đơn giản và mẫu ngẫu nhiên phân tầng trong bài toán chọn mẫu nghiên cứu

Simple random sampling and stratified random sampling
Trần Thị Kim Thanh

116

Giải pháp trích rút và phân loại các thực thể danh từ riêng cho kho ngữ liệu phục vụ xử lý ngôn ngữ tự nhiên

Extraction and classification of named entities from corpora in natural language processing
Đặng Đại Thọ, Huỳnh Công Pháp, Doãn Hùng Diệu

120

Bổ sung dữ liệu vào từ điển UNL – tiếng Việt trong bộ công cụ UNL explorer
Expansion of UNL – Vietnamese dictionary on UNL explorer

Phan Thị Lê Thuyền, Võ Trung Hùng

125

Tương tác giữa keo nano bạc với ion thuỷ ngân (II) và sự thay đổi tính chất cộng hưởng plasmon bề mặt của nó

The interaction between silver nano particle and mercury (II) ion and the change of their surface plasmon resonance
Nguyễn Bá Trung

130

TÍNH CÁC THAM SỐ NHIỆT ĐỘNG VÀ CÁC CUMULANT CỦA CÁC TINH THỂ LẬP PHƯƠNG TÂM DIỆN (FCC) PHA TẠP THEO LÝ THUYẾT PHỔ CẤU TRÚC TINH TẾ CỦA TIA X (XAFS) CALCULATING THERMODYNAMIC PARAMETERS AND CUMULANTS OF DOPANT FACE CUBIC CENTER (FCC) CRYSTALS IN LIGHT OF X-RAY ABSORPTION FINE STRUCTURE (XAFS) THEORY

Nguyễn Bá Đức

Trường Đại học Tân Trào, Tuyên Quang; Email: hieutruongdhtt@gmail.com

Tóm tắt - Một phương pháp mới để tính toán và phân tích các cumulant trong phổ XAFS đối với các tinh thể fcc pha tạp đã được xây dựng trên cơ sở lý thuyết thống kê lượng tử và tương tác phonon, với mô hình Einstein tương quan phi điều hòa được tổng quát hóa. Nghiên cứu này đã xây dựng được các biểu thức biểu diễn thành phần bất đối xứng của phổ XAFS phi điều hòa gồm cumulant bậc một hay hệ số dãn nở mạng, cumulant bậc hai hay hệ số Debye-Waller, cumulant bậc ba và các đại lượng nhiệt động bao gồm các đóng góp của hiệu ứng phi điều hòa của các tinh thể lập phương tâm diện (fcc) bị pha tạp. Các kết quả tính số cho tinh thể đồng (Cu) được pha tạp với tinh thể никen (Ni) đã được thực hiện và trùng tốt với thực nghiệm.

Từ khóa - các từ khóa: phổ XAFS phi điều hòa, tham số nhiệt động, cumulant, tinh thể pha tạp, sự phụ thuộc nhiệt độ.

1. Mở đầu

Việc nghiên cứu cấu trúc của mạng tinh thể qua các tính chất nhiệt động của các nguyên tử trong vật chất là cần thiết và đã được thực hiện [3]. Tuy nhiên, hiện nay phương pháp phân tích phổ cấu trúc tinh tế của tia X (phổ XAFS) đang được phát triển và đã trở thành một kỹ thuật mạnh để phân tích cấu trúc của vật chất. Qua hàm của phổ XAFS ta xác định được các thông tin về số nguyên tử trên mỗi lớp vỏ, ảnh của phép chuyển Fourier của phổ XAFS xác định được thông tin về bán kính lớp nguyên tử [4]. (Phản này đã làm rõ hơn về nội dung nghiên cứu có liên quan và xu thế sử dụng XAFS hiện nay để nghiên cứu cấu trúc của vật rắn).

Các tham số nhiệt động của các tinh thể nguyên chất có cấu trúc lập phương đã được xây dựng qua mô hình Einstein tương quan phi điều hòa trong lý thuyết XAFS [6, 7], tuy nhiên với các tinh thể lập phương tâm diện (fcc) bị pha tạp chưa được đề cập đến. (Phản bổ sung này làm rõ hơn nội dung nghiên cứu mới) Mục đích của nghiên cứu này là sử dụng mô hình Einstein tương quan phi điều hòa trong phổ XAFS để xây dựng các biểu thức tính hằng số lực hiệu dụng, cumulant bậc 1 hay hệ số dãn nở mạng, cumulant bậc hai hay độ dịch chuyển tương đối trung bình toàn phương (MSRD) hay còn gọi là hệ số Debye-Waller, cumulant bậc ba, tần số và nhiệt độ Einstein của tinh thể fcc bị pha tạp. Tinh thể fcc pha tạp bao gồm nguyên tử được pha tạp được coi như nguyên tử hấp thụ, các nguyên tử lân cận gần nhất là các nguyên tử gốc được coi như các nguyên tử tán xạ trong phương pháp XAFS. Việc tính số cho tinh thể đồng (Cu) được pha tạp bởi tinh thể никen (Ni) đã đưa ra được các hiệu ứng nhiệt động của tinh thể fcc bị ảnh

Abstract - A new procedure for calculating and analysing of X-ray absorption fine structure (XAFS) cumulants of dopant fcc crystals has been derived based on the quantum statistical theory in correspondence with the generalized inharmonious correlated Einstein model. This study has formulated the expressions describing the asymmetric component in inharmonious XAFS spectra comprising the first cumulant or thermal expansion, the second cumulant or the mean square relative displacement (MSRD) or the Debye-Waller factor, the third cumulant and thermodynamic parameters including the inharmonious effects contributions of dopant face cubic center (fcc) crystals. The numerical results for copper (Cu) doped with nickel (Ni) and pure Cu, Ni crystals are found to be in good agreement with the experiment.

Key words - inharmonious XAFS; thermodynamic parameters, cumulants; dopant crystal; temperature dependence.

hưởng do sự pha tạp của nguyên tử. Các kết quả tính số đã trùng tốt với các giá trị của thực nghiệm.

2. Lý thuyết

Biểu thức của phổ XAFS phi điều hoà thường được viết như sau [2,4]:

$$\chi(k) = F(k) \frac{\exp[-2R/\lambda(k)]}{kR^2} \operatorname{Im} \left[e^{i\Phi(k)} \exp \left[2ikR + \sum_n \frac{(2ik)^n}{n!} \sigma^{(n)} \right] \right]. \quad (1)$$

Trong đó, $F(k)$ là biên độ tán xạ của nguyên tử, $\Phi(k)$ là tổng độ dịch pha của quang điện tử, k là số sóng, λ là quãng đường tự do trung bình của quang điện tử và $\sigma^{(n)}$ ($n = 1, 2, 3, \dots$) là các cumulant biểu diễn các thành phần bất đối xứng, chúng xuất hiện do tính trung bình nhiệt hâm e^{-2ikr} [1], trong đó các số hạng bất đối xứng được khai triển theo chuỗi Taylor xung quanh giá trị $R = \langle r \rangle$ với r là khoảng cách tức thời giữa nguyên tử hấp thụ và nguyên tử tán xạ tại nhiệt độ T . Theo mô hình Einstein tương quan phi điều hòa [7], tương tác giữa nguyên tử hấp thụ và nguyên tử tán xạ với ảnh hưởng của các nguyên tử lân cận được mô tả qua thé hiệu dụng Einstein phi điều hòa:

$$U_E(\chi) = \frac{1}{2} k_{eff} x^2 + k_3 x^3 + \dots + \sum_{i=1,2} \sum_{j \neq i} U \left(\frac{\mu}{M_i} \times \hat{R}_{12} \cdot \hat{R}_{ij} \right) \quad (2)$$

Thé này bao gồm tham số phi điều hòa k , đặc trưng cho tính phi điều hoà và tạo ra sự bất đối xứng của thí tương tác, hằng số dàn hồi hiệu dụng k_{eff} . Các đóng góp của chùm nguyên tử lân cận được mô tả trong phương trình (2) bằng tổng theo i từ $i = 1$ ứng với nguyên tử hấp thụ (là

nguyên tử pha tạp) đến $i = 2$ ứng với nguyên tử tản xạ (là nguyên tử gốc), còn tổng theo j chạy theo tất cả các nguyên tử lân cận gần nhất trừ nguyên tử hấp thụ và tản xạ vì chúng đã đóng góp trong $U(x)$, \hat{R} là vectơ đơn vị, $\mu = M_1 M_2 / (M_1 + M_2)$ gọi là khối lượng rút gọn của nguyên tử hấp thụ M_1 và nguyên tử tản xạ M_2 , $x = r - r_0$ là độ lệch tức thời của khoảng cách giữa hai nguyên tử từ vị trí cân bằng ứng với vị trí có giá trị thế năng cực tiểu.

Đao động của các nguyên tử đã được tính trên cơ sở thông kê lượng tử với gần đúng dao động chuẩn điều hoà [1], toán tử Hamiltonian của hệ được viết dưới dạng tổng của số hạng điều hoà đối với vị trí cân bằng tại một nhiệt độ xác định và phần phi điều hoà được coi như một nhiễu loạn, ta có:

$$\begin{aligned} H &= \frac{P^2}{2\mu} + U_E(\chi) = H_0 + U_E(a) + \delta U_E(y); \\ H_0 &= \frac{P^2}{2\mu} + \frac{1}{2} k_{\text{eff}} y^2 \\ y &= x - a, \quad a(T) = \langle x \rangle, \quad \langle y \rangle = 0 \end{aligned} \quad (3)$$

Với a là hệ số dãn nở nhiệt mạng, y là độ lệch của x từ giá trị cân bằng tại nhiệt độ T . Sử dụng thế tương tác giữa mỗi cặp nguyên tử bằng thế phi điều hòa Morse cho các tinh thể lập phương và khai triển tới bậc ba quanh vị trí cực tiểu của nó, ta có biểu thức thế Morse cho tinh thể fcc nguyên chất:

$$U_E(\chi) = D(e^{-2\alpha x} - 2e^{-\alpha x}) \approx D(-1 + \alpha^2 x^2 - \alpha^3 x^3 + \dots) \quad (4)$$

Trong trường hợp các chất bị pha tạp, biểu thức thế Morse sẽ có dạng:

$$U_E(\chi) = D_{12}(-1 + \alpha_{12}^2 x^2 - \alpha_{12}^3 x^3 + \dots) \quad (5)$$

Trong các hệ thức (4), (5) α là hệ số dãn nở nhiệt, D là năng lượng phân ly vì $U(r_0) = -D$. Các tham số thế Morse này trong hệ thức (5) là giá trị trung bình của chúng đối với trường hợp các tinh thể nguyên chất và được tính bởi các hệ thức:

$$\begin{aligned} \alpha_{12}^2 &= \frac{D_1 \alpha_1^2 + D_2 \alpha_2^2}{D_1 + D_2}; \quad \alpha_{12}^3 = \frac{D_1 \alpha_1^3 + D_2 \alpha_2^3}{D_1 + D_2}; \\ D_{12} &= \frac{D_1 + D_2}{2} \end{aligned} \quad (6)$$

Từ các biểu thức (2) và (4), ta có thể tính tương tác hiệu dụng Einstein tổng quát:

$$U_E(\chi) = U_E(a) + \frac{1}{2} k_{\text{eff}} y^2 + \delta U_E(y) \quad (7)$$

Thay thế (5) với $x = y + a$ vào (2), sử dụng biểu thức (7) và tính toán số hạng thứ hai của (2) với μ_{12} được tính bằng trung bình cộng của khối lượng rút gọn của nguyên tử gốc và nguyên tử pha tạp, tổng theo i ứng với nguyên tử pha tạp và nguyên tử gốc, còn tổng theo j chạy theo tất cả các nguyên tử lân cận gần nhất và tính tích ($\hat{R}_{12}, \hat{R}_{ij}$) đối

với các mạng tinh thể pha tạp cấu trúc fcc ta thu được các tham số nhiệt động k_{eff} , k_3 , và $\delta U_E(y)$:

$$k_3 = -5D_{12}\alpha_{12}^3 / 4; \quad (8)$$

$$k_{\text{eff}} = 5D_{12}\alpha_{12}^2 \approx \mu_{12}\omega_E^2; \quad (9)$$

$$\delta U_E(y) = 5D_{12}\alpha_{12}^2 (ay - \alpha_{12}y^3 / 4) \quad (10)$$

Để xây dựng các công thức tính giải tích các cumulant cho các tinh thể có cấu trúc lập phương, ta sử dụng lý thuyết nhiễu loạn [5]. Dao động của các nguyên tử đã được lượng tử hóa là phonon, nên khi tính tương tác phonon-phonon bao gồm hiệu ứng phi điều hòa chúng ta thu được các cumulant:

$$\sigma^{(1)} = a = \frac{3\hbar\omega_E}{40D_{12}\alpha_{12}} \frac{(1+z)}{(1-z)} \quad (11)$$

$$\sigma^{(2)} = \langle y^2 \rangle = \frac{\hbar\omega_E}{10D_{12}\alpha_{12}^2} \frac{(1+z)}{(1-z)} \quad (12)$$

$$\sigma^{(3)} = \frac{\hbar^2\omega_E^2}{200D_{12}^2\alpha_{12}^3} \frac{(1+10z+z^2)}{(1-z)^2} \quad (13)$$

Với $z = e^{-\beta\hbar\omega_E} = e^{-\theta_E/T}$ là biến số nhiệt độ và được xác định bằng nhiệt độ Einstein $\theta_E = \hbar\omega_E/k_B$.

3. Kết quả tính số và so sánh với thực nghiệm

Chúng ta sử dụng các hệ thức đã nhận được ở phần trước để tính số đối với tinh thể pha tạp Đồng - Niken (CuNi). Từ các tham số thế Morse D và α của các tinh thể Cu, Ni nguyên chất đã biết [6], ta tính được các tham số D_{12} và α_{12} theo hệ thức (6) đối với các tinh thể fcc pha tạp (Bảng 1).

Bảng 1. Giá trị các tham số thế Morse của các tinh thể Cu, Ni nguyên chất và tinh thể pha tạp CuNi

Tinh thể	$D(\text{eV})$	$\alpha(\text{\AA}^{-1})$
Cu-Cu	0,3429	1,3588
Ni-Ni	0,4205	1,4149
Cu-Ni	0,3817	1,3900

Thay các tham số nhiệt động D_{12} và α_{12} , từ Bảng 1 vào các đại lượng trong hệ thức (8), (9), (10) với hằng số Boltzmann $k_B = 8.617 \times 10^{-5} \text{ eV A}^{-1}$, hằng số Plank $\hbar = 6.5822 \times 10^{-16} \text{ eV.s}$, chúng ta tính được các tham số nhiệt động khác như hệ số đàn hồi hiệu dụng k_{eff} , khối lượng rút gọn μ , tần số Einstein ω_E và nhiệt độ Einstein θ_E của tinh thể đồng pha tạp với nikin (Bảng 2).

Bảng 2. Giá trị các tham số nhiệt động k_{eff} , μ , ω_E , θ_E

Tinh thể	k_{eff} (eV \AA^{-2})	$\mu(\times 10^{-26})$ ($\frac{\text{eV}}{\text{\AA}^2 \text{s}^{-2}}$)	ω_E (10^{13} Hz)	θ_E (K)
Cu-Cu	3,1656	0,3313	3,0928	235,9
Ni-Ni	4,2091	0,3060	3,6102	275,8

Cu-Ni 3,6874 0,3186 3,4019 259,8

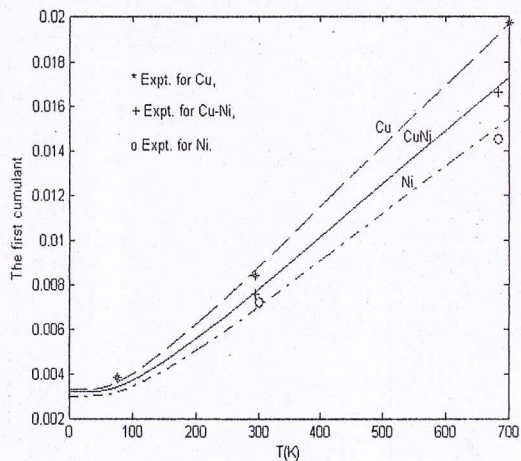
Thay các giá trị ở Bảng 2 vào các hệ thức (11), (12), (13), ta thu được các hệ thức của các cumulant biểu diễn theo biến số nhiệt độ $z = e^{-\theta_E/T}$, sau đó thay giá trị của nhiệt độ Einstein $\theta_E(K)$ vào hệ thức của biến số nhiệt độ z , chúng ta có các hệ thức chỉ phụ thuộc vào nhiệt độ T của các cumulant.

$$\sigma^{(1)} = 3,165326 \times 10^{-3} \times \frac{1 + e^{\frac{-259,86}{T}}}{1 - e^{\frac{-259,86}{T}}} (\text{\AA}) \quad (14)$$

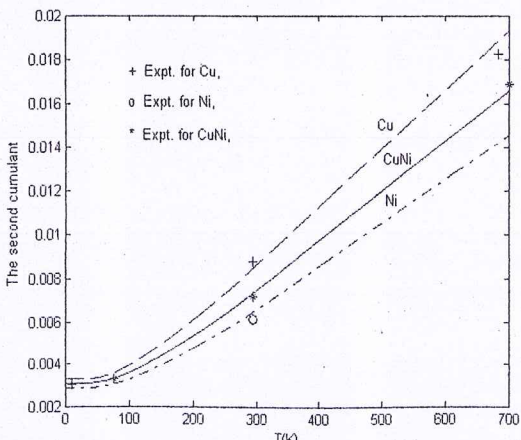
$$\sigma^{(2)} = 3,036284 \times 10^{-3} \times \frac{1 + e^{\frac{-259,86}{T}}}{1 - e^{\frac{-259,86}{T}}} (\text{\AA}^2) \quad (15)$$

$$\sigma^{(3)} = 0,0064072 \times 10^{-3} \times \frac{1 + 10e^{\frac{-259,86}{T}} + \left(e^{\frac{-259,86}{T}}\right)^2}{\left(1 - e^{\frac{-259,86}{T}}\right)^2} (\text{\AA}^3) \quad (16)$$

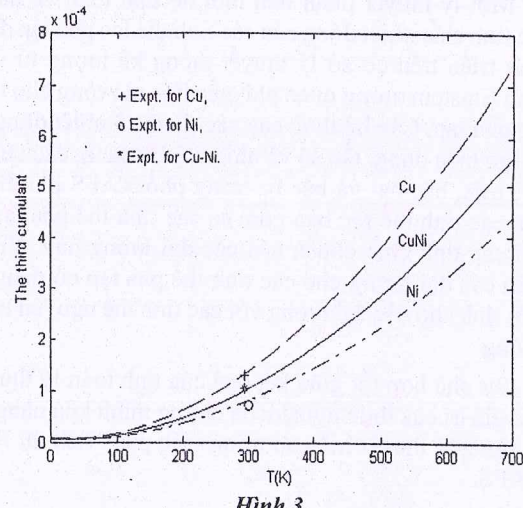
Từ các phương trình (14, 15, 16), chúng ta có các đồ thị mô tả sự phụ thuộc của các cumulant vào nhiệt độ T của các tinh thể Cu, Ni nguyên chất và tinh thể Cu bị pha tạp bằng tinh thể Ni biểu diễn theo các Hình (1), (2), (3).



Hình 1.



Hình 2.



Hình 3.

Trong các hình vẽ ta nhận thấy đường đồ thị biểu diễn sự phụ thuộc vào nhiệt độ của các cumulant với tinh thể bị pha tạp CuNi được xây dựng bằng lý thuyết hiện tại, đều tiệm cận với các giá trị đo được của thực nghiệm. Điều đó chứng tỏ sự đúng đắn của lý thuyết hiện tại (phản này chỉ rõ khi nhìn vào đồ thị cho thấy sự trùng khớp giữa lý thuyết hiện tại và số đo của thực nghiệm ở nhiệt độ phòng-theo ý kiến PB, đồ thị được vẽ bằng phần mềm Matlab 7.2). Hình 1 và Hình 3 mô tả sự phụ thuộc vào nhiệt độ của cumulant bậc 1 $\sigma^{(1)}(T)$ hay hệ số dãn nở nhiệt mạng và cumulant bậc 3 $\sigma^{(3)}(T)$ của tinh thể Cu được pha tạp với Ni và các tinh thể Cu, Ni nguyên chất. Chúng đóng góp vào độ dịch pha của phổ XAFS do hiệu ứng phi điều hòa. Các kết quả tính toán lý thuyết đối với $\sigma^{(1)}(T)$ đã trùng tốt với các giá trị thực nghiệm tại nhiệt độ 77K, 295K, 700K [8, 9] của tinh thể Cu nguyên chất, tại nhiệt độ 300K, 683K của tinh thể Ni nguyên chất và tinh thể CuNi pha tạp. Các kết quả tính lý thuyết đối với $\sigma^{(3)}(T)$ cũng trùng tốt với các giá trị của thực nghiệm tại nhiệt độ 295K đối với Cu nguyên chất và tinh thể pha tạp CuNi, tại nhiệt độ 300K đối với tinh thể Ni nguyên chất [8, 9, 10]. Hình 2 mô tả sự phụ thuộc vào nhiệt độ của cumulant bậc 2 $\sigma^{(2)}(T)$ hay độ dịch chuyển tương đối trung bình toàn phương (MSRD), còn gọi là hệ số Debye-Waller của tinh thể pha tạp CuNi và các tinh thể nguyên chất Cu, Ni và so sánh với các giá trị đo được tại các nhiệt độ 77K, 295K và 700K cho tinh thể pha tạp CuNi [9] và tại nhiệt độ 10K, 295K và 683K đối với Cu nguyên chất và tại nhiệt độ 295K đối với Ni nguyên chất [8, 9, 10], các kết quả của lý thuyết cũng trùng tốt với các giá trị của thực nghiệm.

Chú ý rằng các giá trị thực nghiệm lấy từ phép đo phổ XAFS tại HASYLAB [7] và BUGH Wuppertal (DESY, Germany) [8]. Trong các đồ thị, chúng ta nhận thấy tại các nhiệt độ thấp, các cumulant $\sigma^{(1)}, \sigma^2, \sigma^{(3)}$ chứa các đóng góp của năng lượng điểm không, đó là một hiệu ứng lượng tử. Tại các nhiệt độ cao $\sigma^{(1)}, \sigma^2$ tỷ lệ tuyến tính với nhiệt độ T và $\sigma^{(3)}$ tỷ lệ với bình phương nhiệt độ (T^2), trùng với các kết quả của lý thuyết cổ điển và thực nghiệm.

4. Kết luận

Một lý thuyết phân tích mới để tính toán và đánh giá các tính chất nhiệt động của các tinh thể fcc pha tạp đã được phát triển trên cơ sở lý thuyết thống kê lượng tử với mô hình Einstein tương quan phi điều hòa mở rộng cho tinh thể fcc pha tạp. Các hệ thức của các tham số nhiệt động, hằng số lực hiệu dụng, tần số và nhiệt độ Einstein, các cumulant bậc một, bậc hai và bậc ba trong phổ XAFS phi điều hòa của các tinh thể fcc bao gồm cả các tinh thể pha tạp trùng với các tinh chất chuẩn của các đại lượng này. Việc tính toán các đại lượng cho các tinh thể pha tạp có dạng giống như tính cho các đại lượng với các tinh thể nguyên chất của chúng.

Sự phù hợp tốt giữa kết quả của tính toán lý thuyết với các giá trị của thực nghiệm đã chứng minh khả năng có thể sử dụng lý thuyết hiện tại trong việc phân tích dữ liệu phổ XAFS.

Lời cảm ơn

Tác giả xin cảm ơn GS. TSKH Nguyễn Văn Hùng đã đóng góp ý kiến thảo luận và cho phép sử dụng một số kết quả đã được công bố.

(BBT nhận bài: 15/09/2014, phản biện xong: 12/11/2014)

TÀI LIỆU THAM KHẢO

- [1] Nguyễn Quang Báu, Bùi Bằng Đoan, Nguyễn Văn Hùng, *Vật lý thống kê*, Nhà xuất bản Đại học Quốc gia, Hà nội (1999).
- [2] Beni, G. and Platzman, P.M. "Temprature and polarization dependence of extended x-ray absorption fine-structure spectra" *Phys. Rev. B* (14) (1976), pp. 1514.
- [3] Born, M., and Huang, K. *Dynamical Theory of Crystal Lattices* Clarendon Press., Oxford (1954).
- [4] Crozier, E. D., Rehr, J. J., and Ingalls, R. *X-ray absorption* edited by D. C. Koningsberger and R. Prins, Wiley New York, (1998).
- [5] Feynman, R. P. *Statistics Mechanics*, Benjamin, Reading, (1972).
- [6] N. V. Hung and N. B. Duc "Anharmonic-Correlated Einstein model Thermal expansion and XAFS Cumulants of Cubic Crystals: Comparison with Experiment and other Theories", *J. Communications in Physics*, vol. 10, №. 1, (2000), pp. 15-21.
- [7] Hung, N. V. and Rehr, J. J., "Anharmonic correlated Einstein-model Debye-Waller factors", *Phys. Rev. B* (56), (1997), pp. 43.
- [8] Hung, N. V., Duc, N. B., Frahm, R. R., "A New Anharmonic Factor and EXAFS including anharmonic contributions", *J. Phys. Soc. Japan*, Vol. 72, №. 5, (2002), pp 1254-1259.
- [9] L. Troger: unpublished.
- [10] Yokoyama T., Susukawa, T., and Ohta, T. "Anharmonic Interatomic Potentials of Metals and Metal Bromides Determined by EXAFS" *Jpn. J. Appl. Phys. B* (28), (1989), pp. 1905.